

川崎重工(株) 正会員 水上義彦  
 川崎重工(株) 正会員 中谷忠男  
 川崎重工(株) 正会員 赤尾 宏

### 1. まえがき

斜張橋は、周知の通り、他形式橋架に比べて設計上の自由度が高く、最適な基本形状、寸法を定めることが困難な形式と言える。この問題については、これまで静力学面での定性的な研究が行なわれ、ほぼ明らかにされているが、定量的な考察については十分でないと思われる。この定量的な問題を取扱うとき、ケーブルプレストレスをいかに決定するかが一つの大きな問題となる。本論文は、定量的な考察を進めるため逐次線形計画SLP (Sequential Linear Programming) を用いることによって、合理的なケーブルプレストレスの決定を行なった。さらに、この手法を用い、主桁、塔、ケーブルについて全体的な評価を行なうことによって、最適設計を試みたものである。

### 2. ケーブルプレストレスの決定法

このような問題を取扱う一つの方法として、従来より桁橋などに応用されている最適設計法がある。ここでは、これらの中で比較的収束の良いSLPを用いた。ケーブルプレストレスを決定する際の基本条件として、以下のものを設定した。

- (1) 構造解析は平面骨組系で行うものとする。
- (2) 有限変位理論およびケーブルによるサグの影響は考慮しない。
- (3) 動的な問題については考慮しない。
- (4) 曲げモーメントおよび軸方向力のみに着目し、曲げねじり、せん断力、Shear lag、応力集中などについては考慮しない。

○ケーブルプレストレスは、図-1に示す様な、完成系からケーブルを取り除いた構造系に作用させる斜方向の荷重で示している。

○目的関数としては最小重量を用いた。目的関数の設定においては、箱断面の基本寸法および縦リブ、腹板厚を一定とした。この研究においてはコアモーメントと断面係数、断面積の関係により、作用力に対する所要断面積を求め、これに部材長と単位体積重量を乗じることにより、重量を求めている。このとき、目的関数は次式で与えられる。

$$Z(X_1, X_2, \dots, X_n) = \sum_{i=1}^{N_G} Z_G(X_1, X_2, \dots, X_n) + \sum_{i=1}^{N_T} Z_T(X_1, X_2, \dots, X_n) + \sum_{i=1}^{N_C} Z_C(X_1, X_2, \dots, X_n)$$

ここで  $X_1, X_2, \dots, X_n$  : 設計変数 (ケーブルプレストレス)

$Z_G$  : 主桁の目的関数

$Z_T$  : 塔の目的関数

$Z_C$  : ケーブルの目的関数

○図-2にSLPのフローチャートを示す。

なお、設計変数が振動して収束しない場合には、Adaptive Move Limit を用いている。また、SLPは設計許容領域の形状が凹になると必ずしもグローバルな最適解に達する保証がない。このため、ここでは初期値をいくつか変えて計算し、その中で目的関数を最小とするものを最適解としている。

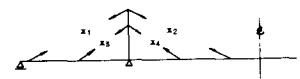


図-1 ケーブルプレストレス

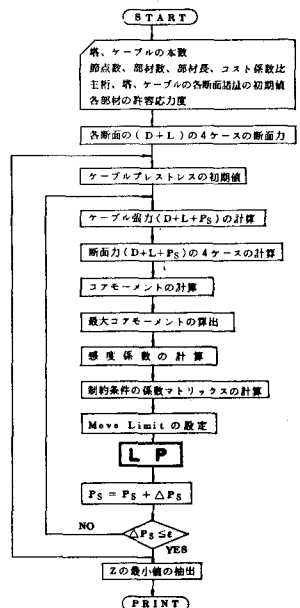


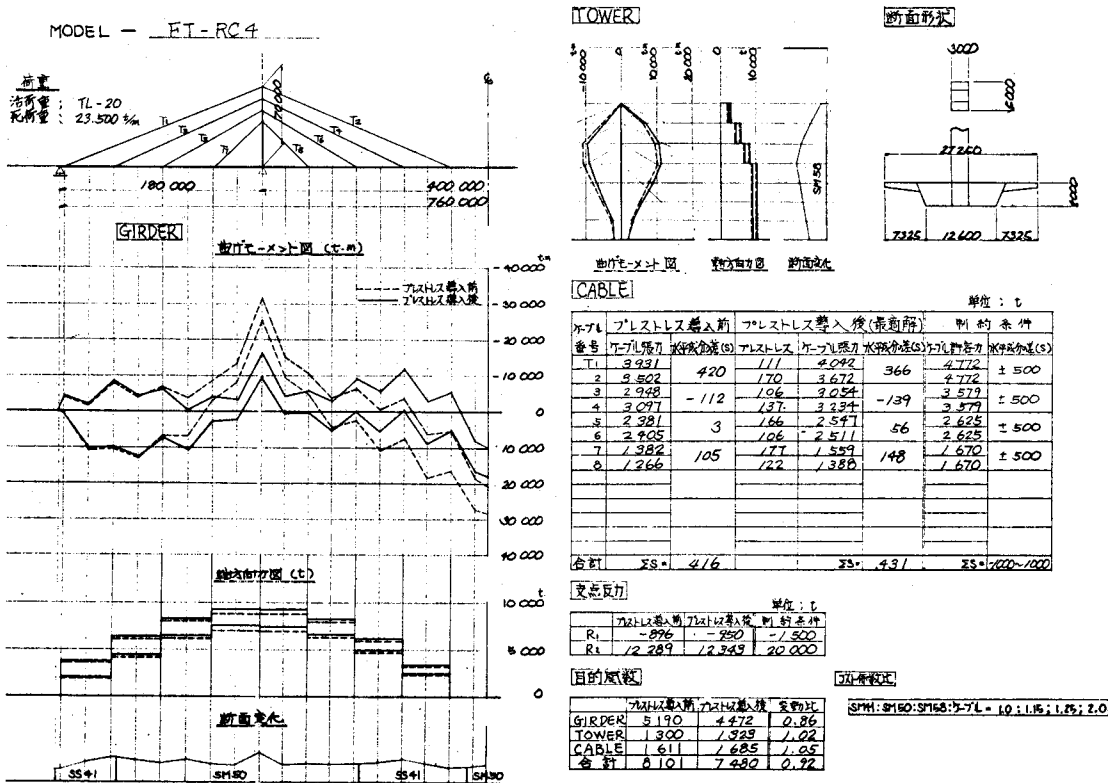
図-2 SLPのフローチャート

### 3. 数値計算例

ケーブルプレストレス決定法の手順に従って、いくつかの近似的な最適設計を試みた。以下にその数値計算結果の一例を示す。なお、この数値計算例においては次の値を用いている。

(1) ケーブルの許容応力度は  $\sigma_a = 5600 \text{ kg/cm}^2$  とする。

(2) ケーブルプレストレスの初期値は  $100t, 200t, 300t, 400t, 500t$  の5ケースとする。



### 4.まとめ

数値計算結果により、本プログラムの妥当性について考察する。

(1) 主桁の曲げモーメントおよび断面変化の分布形状は、各ケース共平滑化されており、主桁の応力調整はほぼ完全に行なわれている。

(2) ケーブルプレストレスは  $100t \sim 500t$  であり、実用的な範囲にある。

(3) 各ケース共、塔およびケーブルの目的関数の値には大きな変動はなく、主桁において  $93\% \sim 83\%$  に減少している。主桁、塔、ケーブルの合計においては  $97\% \sim 90\%$  に減少し、橋梁全体の経済性を高めており、ケーブルプレストレスの導入による効果が表われている。

以上(1), (2), (3)より本プログラムによって任意形式の斜張橋のケーブルプレストレスを合理的に決定することができると思われる。なお、ここで示した数値計算例は IBM 370-168 により計算され、その計算時間は約 15~20秒であった。